

## บทที่ 3

### การสร้างกลับภาพอัลตราซาวนด์สามมิติบนพื้นฐานของ วงจรกรองชาวิสกี-โกลาย

ในบทที่ 3 นี้จะได้นำเสนอปัญหาและวิธีการปรับปรุงวงจรกรองชาวิสกี-โกลาย (Savitzky-Golay : SG filter) ต้นแบบไปเป็นวงจรกรองชาวิสกี-โกลายแบบวน (Cyclic Savitzky-Golay : CSG filter) สำหรับนำมาประยุกต์ใช้ในการสร้างกลับภาพอัลตราซาวนด์สามมิติในขอบข่ายงานของการสแกนแบบเทิงเส้นทางกalem หลังจากนั้นจึงจะนำเสนอวงจรกรองเร็กกูลาร์-ไวร์ชัววิสกี-โกลายแบบวน (Cyclic Regularized Savitzky-Golay : CRSG filter) โดยการนำเทคนิคในการเร็กกูลาร์-ไวร์ชัวร์รวมกับฟังก์ชันจุดประสงค์ของระเบียบวิธี CSG เพื่อเพิ่มประสิทธิภาพในการประมาณค่าในช่วงข้อมูลที่ขาดหายไป พร้อมทั้งลดTHONสัญญาณรบกวนแบบจุดภายในภาพให้ดีขึ้นในเวลาเดียวกัน

#### 3.1 ระเบียบวิธีของวงจรกรองชาวิสกี-โกลายต้นแบบ

วงจรกรองชาวิสกี-โกลาย (SG) ต้นแบบนั้นจะเป็นวงจรกรองหนึ่งมิติสำหรับใช้ในการลดTHONสัญญาณรบกวนในข้อมูลที่บันทึกได้จากเครื่องสเปกตรومิเตอร์ (Spectrometer) [21] โดยใช้หลักการในการพิจพังก์ชันพหุนามแบบกำลังสองน้อยสุด (Least squares polynomial fitting) บนลำดับของกลุ่มข้อมูลตัวอย่าง  $f(t_i)$  เพื่อประมาณค่าที่ปราศจากสัญญาณรบกวน  $\tilde{f}(t_i)$  ภายใต้เงื่อนไขบังคับที่ว่า  $t_i$  จะต้องมีค่าเท่ากับ  $t_0 + \Delta i$  เมื่อ  $\Delta$  คือค่าคงที่ของระยะห่างระหว่างข้อมูล และ  $i = \dots, -1, 0, 1, \dots$

ระเบียบวิธีของวงจรกรอง SG ต้นแบบจะเริ่มจากการพิจารณาลำดับข้อมูล  $f_i$  เมื่อ  $i = \dots, -1, 0, 1, \dots$  และนิยามฟังก์ชันพหุนาม  $g_i$  ที่มีอันดับเท่ากับ  $K$  บนตำแหน่งข้อมูลในหน้าต่างวงจรกรองที่มีตัวแปรด้วยคือ  $m$  เมื่อ  $m = \{-M : M\}$ , นั่นคือ  $m$  มีค่าอยู่ในช่วง  $-M, \dots, -1, 0, 1, \dots, M$  ตั้งสมการ

$$g_i(m) = \sum_{k=0}^K a_i(k) m^k, \quad (3.1)$$

โดยในแต่ละตำแหน่ง  $i$  นั้น วงจรกรอง SG จะคำนวณค่าເຄາຕີພຸດ  $\tilde{f}_i$  ດ້ວຍການພິດຝັງກົບພຸນາມ  $g_i$  ແບບກຳລັງສອນນ້ອຍໄປຢັງຂອມູລ  $f_{i-M}, \dots, -1, 0, 1, \dots, f_{i+M}$  ຈາກນັ້ນຈະເລືອກຄ່າເຄາຕີພຸດຂອງວົງຈາກຮອງ ດັ່ງ ຕຳແໜ່ງຄູນຍົກລາງຂອງຝັງກົບພຸນາມໃນໜ້າຕ່າງວົງຈາກຮອງທີ່ຕຳແໜ່ງ  $m=0$ , ສົ່ງຜລໃຫ້ເຄາຕີພຸດຂອງວົງຈາກຮອງ ດັ່ງ ຕຳແໜ່ງທີ່  $i$  ໃນສົມກາຣທີ່ (3.1) ມີຄ່າດັ່ງສົມກາຣ

$$\tilde{f}_i = g_i(0) = a_i(0). \quad (3.2)$$

ໃນກາຮາຄ່າເຄາຕີພຸດຂອງວົງຈາກຮອງ SG ຜຶ່ງມີຄ່າເທົ່າກັບຄ່າສົມປະສິທິ  $a_i(0)$  ໃນສົມກາຣທີ່ (3.2) ນັ້ນຈະສາມາຮັດທຳໄດ້ໂດຍກາຮາກຳຫົນຮູບແບບຂອງປົງຫາແບບກຳລັງສອນນ້ອຍສຸດດ້ວຍຝັງກົບຈຸດປະສົງ (Objective function) ຜຶ່ງມີຄວາມສົມພັນອົດດັ່ງສົມກາຣ

$$\varepsilon_i = \sum_{m=-M}^M (g_i(m) - f_{i+m})^2, \quad (3.3)$$

ແລະຝັງກົບພຸນາມທີ່ໄດ້ນິຍາມໄວ້ໃນສົມກາຣທີ່ (3.1) ຈະຖຸກນຳມາເຫັນຈັດເຮີຍໃໝ່ໃຫ້ອູ້ໃນຮູບແບບຂອງຜລຸດຮະຫວ່າງເວກເຕອຮີຂອງຄ່າຄວາມຜິດພລາດ (Error vector) ໄດ້ດັ່ງສົມກາຣ

$$\varepsilon_i = \vec{e}_i^T \vec{e}_i, \quad (3.4)$$

ເນື່ອ

$$\vec{e}_i = \mathbf{A} \vec{a}_i - \vec{f}_i = \begin{bmatrix} (-M)^0 & (-M)^1 & \cdots & (-M)^K \\ (-M+1)^0 & (-M+1)^1 & \cdots & (-M+1)^K \\ \vdots & \vdots & \vdots & \vdots \\ 0^0 & 0^1 & \cdots & 0^K \\ \vdots & \vdots & \ddots & \vdots \\ (M-1)^0 & (M-1)^1 & \cdots & (M-1)^K \\ M^0 & M^1 & \cdots & M^K \end{bmatrix} \begin{bmatrix} a_i(0) \\ a_i(1) \\ \vdots \\ a_i(K) \end{bmatrix} - \begin{bmatrix} f_{i-M} \\ f_{i-M+1} \\ \vdots \\ f_i \\ \vdots \\ f_{i+M-1} \\ f_{i+M} \end{bmatrix}, \quad (3.5)$$

ເນື່ອ  $\vec{a}_i = [a_i(k); k=1, 2, \dots, K]^T$ ,  $\vec{f}_i = [f_{i+m}; m=-M, \dots, 0, \dots, M]^T$ , ແລະສາມືກຂອງເມຕຣິກ໌  $\mathbf{A}$  ມີຄ່າເທົ່າກັບ

$$\mathbf{A}_{qr} = m(q)^{k(r)}, \quad (3.6)$$

ເນື່ອ  $m(q) = q - M - 1$  ສໍາຫຼັບ  $q = 1, 2, \dots, (2M+1)$ , ແລະ  $k(r) = r - 1$  ສໍາຫຼັບ  $r = 1, 2, \dots, (K+1)$ . ຈາກການນິຍາມເວກເຕອຮີໃນສົມກາຣທີ່ (3.4) ແລະ (3.5) ທຳໄໝເຮົາສາມາຮັດເຫັນຝັງກົບຈຸດປະສົງໃນສົມກາຣທີ່ (3.3) ຂ້າງຕົນໃຫ້ອູ້ໃນຮູບແບບຂອງເມຕຣິກ໌ແລະເວກເຕອຮີໄດ້ດັ່ງສົມກາຣ

$$\varepsilon_i = (\mathbf{A}\vec{a}_i - \vec{f}_i)^T (\mathbf{A}\vec{a}_i - \vec{f}_i), \quad (3.7)$$

ผลเฉลยทั่วไปของเวกเตอร์  $\vec{a}_i$  ที่ถูกกำหนดภายใต้เงื่อนไขที่ทำให้เกิดค่าความผิดพลาดกำลังสองน้อยสุดในสมการที่ (3.7) สามารถทำการหาค่าเหมาะสมที่สุด (Optimization) ได้ดังสมการ

$$\vec{a}_i = (\mathbf{A}^T \mathbf{A})^{-1} (\mathbf{A}^T \vec{f}_i), \quad (3.8)$$

ค่าสัมประสิทธิ์  $a_i(0)$  ซึ่งใช้เป็นค่าเริ่มต้น  $g_i(0)$  ของวงจรกรอง SG คือค่าสมาชิกตัวแรกของเวกเตอร์  $\vec{a}_i$  ดังที่ได้นิยามไว้ในสมการที่ (3.5) และสามารถเขียนกำหนดเพื่อหาค่าได้ดังสมการ

$$g_i(0) = a_i(0) = \left\{ (\mathbf{A}^T \mathbf{A})^{-1} \mathbf{A}^T \right\}_1 \vec{f}_i, \quad (3.9)$$

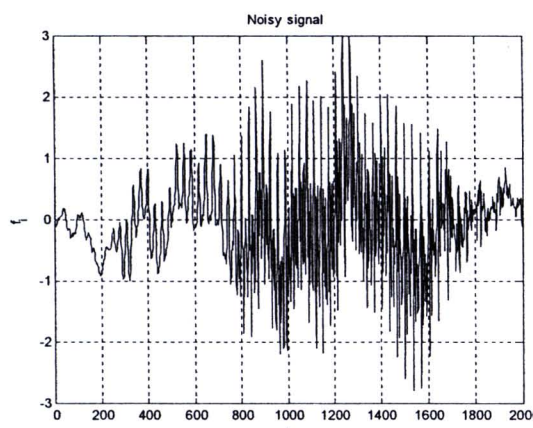
เมื่อ  $\{ \cdot \}_1$  คือสัญกรณ์ที่ระบุว่าเป็นเวกเตอร์แนวอน dane และจากของเมตริกซ์ที่อยู่ในสัญกรณ์ดังกล่าวโดยจะสังเกตเห็นได้ว่าค่าสัมประสิทธิ์  $a_i(0)$  ในสมการที่ (3.9) คือค่าที่ได้จากการคำนวณภายใน (Inner product) ระหว่างเวกเตอร์แนวอน dane และจากของเมตริกซ์ที่อยู่ในสัญกรณ์  $\{ \cdot \}$  และเวกเตอร์ข้อมูล  $\vec{f}_i$  ดังนั้นเราสามารถเขียนลดรูปสมการผลเฉลยของวงจรกรอง SG ให้อยู่ในรูปของผลรวมเชิงเส้นได้ดังสมการ

$$\tilde{f}_i = g_i(0) = \sum_{q=1}^{2M+1} \alpha_q f_{i-m-l+q}, \quad (3.10)$$

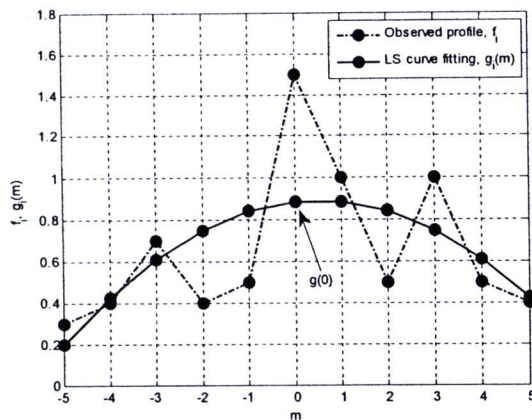
เมื่อ

$$\alpha_q = \left\{ (\mathbf{A}^T \mathbf{A})^{-1} \mathbf{A}^T \vec{u}_q \right\}_1, \quad (3.11)$$

เครื่องหมาย  $\vec{u}_q$  ในสมการที่ (3.11) คือเวกเตอร์หนึ่งหน่วยซึ่งมีค่าเท่ากับหนึ่งที่ตำแหน่ง  $q$ th

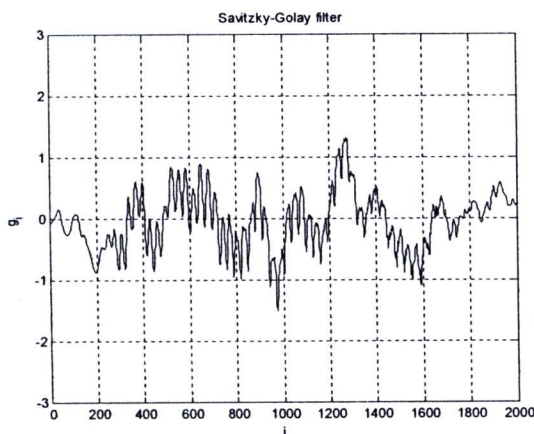


รูปที่ 3.1 ตัวอย่างฟังก์ชัน  $f$  ที่ประกอบไปด้วยสัญญาณรบกวนชุดหนึ่ง



รูปที่ 3.2 การประมาณกลุ่มข้อมูล  $f$  ที่ตำแหน่ง  $m = 0$  ด้วยฟังก์ชันพหุนาม  $g_i$ ,  
อันดับ 2 ขนาด  $M = 5$

รูปที่ 3.1 แสดงตัวอย่างฟังก์ชันหนึ่งมิติ  $f$  ที่ถูกครอบคลุมด้วยสัญญาณรอบกว้างซุ่มหนึ่ง โดยเราจะนำข้อมูลในช่วงที่เราสนใจมาเก็บไว้ในหน้าต่างวงจรกรองดังแสดงในรูปที่ 3.2 ในช่วง  $m = [-5, \dots, 0, \dots, 5]$  จากนั้นจึงใช้ฟังก์ชันพหุนามอันดับสองของฟิตกลุ่มข้อมูลที่เราสนใจ โดยเอาต์พุต ณ ตำแหน่งศูนย์กลางของหน้าต่างวงจรกรอง  $m = 0$  ก็คือค่า ณ ตำแหน่งตรงกลางของฟังก์ชันพหุนาม  $g_i(m = 0)$  ที่ประมาณค่าได้ และเมื่อทำเช่นเดียวกันกับทุก ๆ ข้อมูลในช่วงหน้าต่างวงจรกรองจะได้ผลลัพธ์หลังการกรองดังแสดงในรูปที่ 3.3



รูปที่ 3.3 ผลลัพธ์หลังผ่านวงจรกรองชาวีสกี้-โกลเดย์ตันแบบ

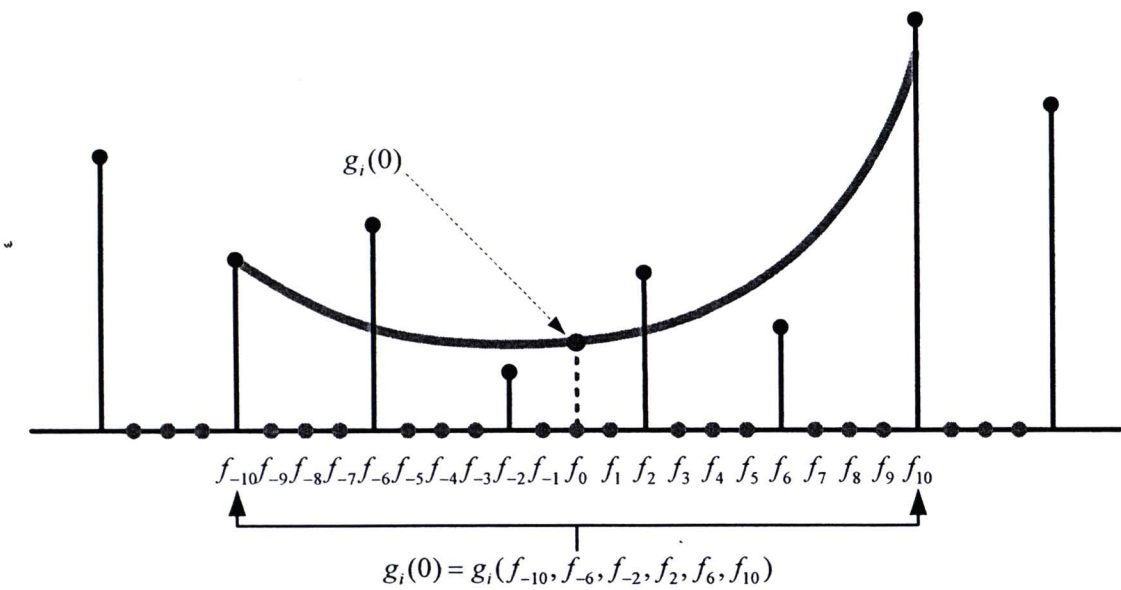
จากสมการที่ (3.10) แสดงถึงค่าสัมประสิทธิ์ที่มีอยู่ของ  $\alpha_q$  ซึ่งสามารถจะช่วยให้เราสามารถคำนวณหาค่าของการประมาณฟังก์ชันพหุนามกำลังสองน้อยสุดบนกลุ่มของข้อมูลโดยอาศัยการคำนวณหาผลรวมเชิงเส้น (Linear combination) ของกลุ่มข้อมูล  $f_{i+m}$  กับค่าสัมประสิทธิ์  $\alpha_1$

,..., $\alpha_{(2M+1)}$  เท่านั้น โดยค่าสัมประสิทธิ์  $\alpha_q$  จะขึ้นอยู่กับการสร้างค่าเมตริกซ์ A และค่าเมตริกซ์ A ที่สร้างขึ้นนั้นจะเป็นค่าคงที่สำหรับทุก ๆ ตำแหน่งข้อมูล ; จึงทำให้เราคำนวณหาค่า  $\alpha_q$  เพียงครั้งเดียวสำหรับการสร้างวงจรกรอง SG นี้ ส่งผลให้กระบวนการการดังกล่าวมีความรวดเร็วและมีความซับซ้อนน้อยลง

### 3.2 การกำหนดแนวทางของวงจรกรองชาวิสกี-โกลเด้นแบบวน

เหตุที่มาของการนำวงจรกรอง SG ต้นแบบมาพัฒนาต่อสำหรับการนำมาประยุกต์ใช้ใน การสร้างกลับภาพอัลตราซาวน์สามมิติในขอบข่ายงานของการสแกนแบบเชิงเส้นทางกลั้นเนื่อง มาจาก ที่ผ่านมาวงจรกรองดังกล่าวได้ถูกพัฒนาสำหรับใช้ในการลดTHONสัญญาณรบกวนในภาพ อัลตราซาวน์สองมิติได้อย่างมีประสิทธิภาพ [26, 27] อย่างไรก็ตามดังที่ได้อธิบายไว้ในหัวข้อที่ 3.1 ในข้างต้นได้ว่าการทำงานของวงจรกรอง SG จะขึ้นอยู่กับเงื่อนไขบังคับของตำแหน่งข้อมูล  $t_i$  นั่นคือวงจรกรอง SG จะสามารถประมาณค่าข้อมูล  $\tilde{f}(t_i)$  ได้เฉพาะตำแหน่งที่มีข้อมูล  $f(t_i)$  ได้เท่านั้น ยิ่งไปกว่านั้นตำแหน่งของข้อมูลที่จะถูกนำมาใช้ในการฟิตเส้นโค้งจะต้องมีระยะห่าง ระหว่างแต่ละตำแหน่งข้อมูล  $\Delta$  ที่เท่ากันและเหมือนกัน (Equally and likely spaced data) สำหรับทุกๆ ตำแหน่ง  $t_i$  แต่ในการสร้างกลับภาพอัลตราซาวน์สามมิติบนพื้นฐานของขอบข่ายงาน การสแกนแบบเชิงเส้นทางกลั้น นอกเหนือจากข้อมูลที่บันทึกได้จะถูกรบกวนด้วยสัญญาณรบกวนแบบจุดแล้ว ชุดภาพบีสแกนแบบตัดขวางที่บันทึกได้จะมีลักษณะที่ Sparse หรือก็คือมีความ ละเอียดของจำนวนภาพในแนวเฉลี่ยวเรือนที่ต่ำ ไม่เพียงพอที่จะนำมาแสดงผลเป็นภาพสามมิติ ดัง นั้นเราจะต้องทำการประมาณค่าในช่วงข้อมูลที่ขาดหายไปเพื่อเพิ่มความละเอียดของข้อมูลภาพ พร้อมทั้งชดเชยความผิดเพี้ยนของสัญญาณอันเนื่องมาจากสัญญาณรบกวนแบบจุดที่เกิดขึ้นในขั้น ตอนของการบันทึกข้อมูล

จากเงื่อนไขบังคับที่ได้อธิบายไว้ในข้างต้น ผลงานทำให้การนำวงจรกรอง SG ต้นแบบมา ประยุกต์ใช้งานดังกล่าวไม่อาจทำได้โดยตรง เนื่องจากรูปแบบของระยะห่าง  $\Delta$  ในแต่ละตำแหน่ง ข้อมูลเมื่อมากอยู่ในແղำดับเชิงปริมาตรสามมิติแล้ว จะมีลักษณะที่ไม่เท่ากันและเปลี่ยนไปใน ทุกๆ ตำแหน่ง  $t_i$  ดังนั้นจะเป็นวิธีที่จะได้พัฒนาต่อไปนี้จะเป็นการพัฒนาและการขยายผลของ วงจรกรองชาวิสกี-โกลเด้นต้นแบบให้สามารถลดTHONสัญญาณรบกวนและประมาณค่าข้อมูลที่ขาด หายไปได้ในคราวเดียวกัน รูปที่ 3.4 แสดงตัวอย่างในการฟิตฟังก์ชันพหุนามแบบกำลังสองน้อยสุด ลงบนจุดข้อมูลหนึ่งมิติ  $\{f_{-5}, f_{-3}, f_{-1}, f_1, f_3, f_5\}$  โดยจะเห็นได้ว่าเส้นโค้งดังกล่าวจะถูกนำมาใช้ ในการประมาณค่า  $g_i$  ณ ตำแหน่ง  $f_0$  ซึ่งเป็นตำแหน่งของข้อมูลที่ขาดหายไป



รูปที่ 3.4 ตัวอย่างการประมาณค่าในช่วงของข้อมูล  $f_0$  ที่ขาดหายไปด้วยวิธีการฟิตเส้นโค้งอันดับสองแบบกำลังสองน้อยสุดสำหรับการนำมาระบุกต์ใช้ในวงจรกรอง CSG

ในหัวข้อนี้จะได้นำเสนอระเบียบวิธีในการสร้างกลับภาพอัลตราซาวน์สามมิติบนพื้นฐานของขอบข่ายงานของการสแกนแบบเชิงเส้นทางกลด้วยวงจรกรอง CSG โดยนอกเหนือจาก การที่จะเบียบวิธีของวงจรกรองดังกล่าวนี้จะต้องถูกขยายผลจากวงจรกรอง SG ต้นแบบออกไปเพื่อรับข้อมูลในແວลดับสามมิติแล้ว พังก์ชันชี้บวกการวนซ้ำ (Cyclic indicator function) จะถูกพัฒนาสำหรับใช้เป็นกลไกในการสร้างกลับโดยจะถูกนำเข้าไปรวมกับพังก์ชันจุดประสงค์แบบกำลังสองน้อยสุดเพื่อทำให้วงจรกรอง CSG สามารถทำงานได้ทั้งในรูปแบบของวงจรกรองแบบปรับเรียบ (Smoothing filter) และวงจรกรองประมาณค่าในช่วง (Interpolation filter) ได้ในตัว

ในการกำหนดรูปแบบปัญหาของวงจรกรอง CSG สำหรับนำมาใช้ในการสร้างกลับภาพ อัลตราซาวน์สามมิติบนพื้นฐานของขอบข่ายงานการสแกนแบบเชิงเส้นทางกลนั้นจะเริ่มจากกำหนดให้วoxelบริเวณใกล้เคียง (Voxel neighborhood) ที่มีจุดศูนย์กลางอยู่ที่  $\{i, j, k\}$  มีค่าเท่ากับ

$$V_{\{i, j, k\}} = \{ v(i+m, j+n, k+o) \}, \quad (3.12)$$

เมื่อ  $m = \{-M : M\}$ ,  $n = \{-N : N\}$ , และ  $o = \{-O : O\}$

สำหรับในแต่ละ voxelบริเวณใกล้เคียง  $V_{\{i, j, k\}}$ , จะกำหนดให้  $g_{\{i, j, k\}}$  เป็นพังก์ชันหนุนนานสามมิติโดยมี  $P$  เป็นอันดับของ  $m$ ,  $Q$  เป็นอันดับของ  $n$ , และ  $R$  เป็นอันดับของ  $o$  ซึ่งสามารถเขียนนิยามได้ดังสมการ

$$g_{\{i,j,k\}}(m,n,o) = \sum_{p=0}^P \sum_{q=0}^Q \sum_{r=0}^R a_{\{i,j,k\},\{p,q,r\}} m^p n^q o^r. \quad (3.13)$$

ในการจัดรูปสมการที่ (3.13) ให้อยู่ในรูปแบบของเวกเตอร์นั้น เราจะกำหนดให้  $p$ ,  $q$ , และ  $r$  เป็นฟังก์ชันดัชนี (Indexing function) ซึ่งมีค่านิยามดังสมการ

$$p(s) = \lfloor (s-1)/((Q+1)(R+1)) \rfloor, \quad (3.14)$$

$$q(s) = \lfloor (s-1)/(R+1) \rfloor \bmod (Q+1), \quad (3.15)$$

$$r(s) = (s-1) \bmod (R+1), \quad (3.16)$$

เมื่อ  $s = 1, \dots, (P+1)(Q+1)(R+1)$ , และ  $\lfloor \cdot \rfloor$  คือฟังก์ชัน floor และ  $\bmod$  คือฟังก์ชัน modulo, จากฟังก์ชันดัชนีในสมการข้างต้น เราสามารถจัดเรียงค่าสัมประสิทธิ์  $a_{\{i,j,k\},\{p,q,r\}}$  และค่าดัชนีของตำแหน่งข้อมูล  $m^p n^q o^r$  ในสมการที่ (3.13) ในรูปแบบของเวกเตอร์ได้ดังต่อไปนี้

$$\vec{a}_{\{i,j,k\}} = [ a_{\{i,j,k\},\{p(s),q(s),r(s)\}} ; s = 1, \dots, (P+1)(Q+1)(R+1) ]^T, \quad (3.17)$$

และ

$$\vec{b}_{\{i,j,k\}}(m,n,o) = [ m^{p(s)} n^{q(s)} o^{r(s)} ; s = 1, \dots, (P+1)(Q+1)(R+1) ]^T. \quad (3.18)$$

เวกเตอร์  $\vec{a}_{\{i,j,k\}}$  และเวกเตอร์  $\vec{b}_{\{i,j,k\}}$  ในสมการที่ (3.17) และ (3.18) ทำให้เราสามารถเขียนสมการที่ (3.13) ขึ้นใหม่ในรูปแบบที่กระชับขึ้นได้ดังสมการ

$$g_{\{i,j,k\}}(m,n,o) = [ \vec{b}_{\{i,j,k\}}(m,n,o) ]^T \vec{a}_{\{i,j,k\}}. \quad (3.19)$$

จากนั้นเราจะกำหนดให้  $\tilde{f}(i,j,k)$  เป็นเอกสารพุตของวงจรกรอง CSG ที่ตำแหน่งร่อง-เซล  $v(i,j,k)$ , การสร้างกลับข้อมูลของวงจรกรอง CSG จะคำนวณค่าเอกสารพุต  $\tilde{f}(i,j,k)$  ด้วยการฟิตฟังก์ชันพหุนาม  $g_{\{i,j,k\}}$  แบบกำลังสองน้อยสุดไปยังความเข้มข้นของข้อมูล  $f(i,j,k)$  ที่ถูกเติมด้วยข้อมูลจากชุดภาพบีสแกนในร่องเซลบริเวณใกล้เคียง  $V_{\{i,j,k\}}$ , จากนั้นจึงเซ็ตค่าเอกสารพุตของวงจรกรองเป็นค่า ณ ตำแหน่งศูนย์กลางของร่องเซลบริเวณใกล้เคียง  $V_{\{i,j,k\}}$ , ซึ่งมีค่า  $m=0$ ,  $n=0$ , และ  $o=0$ , โดยเอกสารพุตของวงจรกรอง CSG สามารถกำหนดและเขียนได้ดังสมการ

$$\tilde{f}(i,j,k) = g_{\{i,j,k\}}(0,0,0) = a_{\{i,j,k\},\{0,0,0\}}. \quad (3.20)$$

สำหรับการแก้สมการหาค่าเอกสารพุต  $a_{\{i,j,k\},\{0,0,0\}}$  ในสมการที่ (3.20) ข้างต้นนั้น เราจะทำการหาค่าหมายที่สุดในฟังก์ชันจุดประสงค์ดังสมการ

$$\varepsilon(\vec{a}_{\{i,j,k\}}) = \sum_{(m,n,o) \in V_{\{i,j,k\}}} I_{\{i,j,k\}}(m,n,o) \{ e_{\{i,j,k\}}(m,n,o) \}^2, \quad (3.21)$$

เมื่อ  $e_{\{i,j,k\}}(m,n,o)$  คือผลต่างระหว่างฟังก์ชันพหุนาม  $g_{\{i,j,k\}}(m,n,o)$  และข้อมูลที่อยู่ในวีโว-เซลบริเวนไกล์เดียง  $f(i+m, j+n, k+o)$ , สมการที่ (3.21) ในข้างต้นนั้น เราได้รวมฟังก์ชันชี้บอก (Indicator function)  $I_{\{i,j,k\}}(m,n,o)$  เข้าไปเพื่อระบุให้ค่าความผิดพลาดกำลังสอง  $\{ e_{\{i,j,k\}}(m,n,o) \}^2$  ที่สอดคล้องข้อมูลในวีโวเซลที่ถูกเติมมีค่าต่างน้ำหนักเท่ากับหนึ่ง และระบุให้ค่าความผิดพลาดกำลังสอง  $\{ e_{\{i,j,k\}}(m,n,o) \}^2$  ที่สอดคล้องข้อมูลในวีโวเซลที่ไม่ถูกเติมมีค่าต่างน้ำหนักเท่ากับศูนย์ โดยสามารถเขียนฟังก์ชันชี้บอก  $I_{\{i,j,k\}}(m,n,o)$  ได้ดังสมการ

$$I_{\{i,j,k\}}(m,n,o) = \begin{cases} 1, & \text{if } \phi_{\{i,j,k\}}(o) = 0, \\ 0, & \text{otherwise,} \end{cases} \quad (3.22)$$

โดย  $\phi_{\{i,j,k\}}$  เป็นฟังก์ชันของเลขจำนวนเต็มมีค่าเท่ากับ

$$\phi_{\{i,j,k\}}(o) = |k+o| \bmod N_{SCAN}, \quad (3.23)$$

เมื่อ  $o \in [-O : O]$ . จากคุณสมบัติเฉพาะทางของฟังก์ชัน modulo ที่มีลักษณะการให้ค่าผลลัพธ์แบบวนตั้งแสดงในภาคผนวก ฯ และทำให้เราสามารถพิสูจน์ และสรุปได้ในภาคผนวก ค ได้ว่า

$$I_{\{i,j,k\}}(m,n,o) = I_{\sigma(k)}(o), \quad (3.24)$$

เมื่อ  $\sigma(k) = k \bmod N_{SCAN}$ , จากสมการที่ (3.24) นี้ทำให้เราสามารถนำฟังก์ชันจุดประสงค์ในสมการที่ (3.10) มาเขียนใหม่ได้ดังสมการ

$$\varepsilon(\vec{a}_{\{i,j,k\}}) = \sum_{(m,n,o) \in V_{\{i,j,k\}}} I_{\sigma(k)}(o) \{ e_{\{i,j,k\}}(m,n,o) \}^2, \quad (3.25)$$

ในการหาค่า  $a_{\{i,j,k\},\{0,0,0\}}$  ที่ทำให้ฟังก์ชันจุดประสงค์ในสมการที่ (3.25) มีค่าน้อยที่สุด แบบตรงไปตรงมา นั้น โดยส่วนมากจะใช้เวลาในการคำนวณที่ค่อนข้างสูงอันมีสาเหตุมาจากจำนวนวีโวเซลที่จะถูกนำมาใช้ในฟังก์ชันจุดประสงค์นั้นมีปริมาณที่มาก ดังนั้นในการคำนวณหาค่า  $a_{\{i,j,k\},\{0,0,0\}}$  อย่างมีประสิทธิภาพนั้น เราจะเลือกใช้หลักการตามที่ได้พัฒนาไว้ในระเบียบวิธีของ วงจรกรองชาวีสกี-โกลเด้นหนึ่งมิติ [21] ซึ่งจะทำให้เราสามารถคำนวณหาค่า  $a_{\{i,j,k\},\{0,0,0\}}$  ด้วยวิธี ผลรวมเชิงเส้นกับข้อมูลที่ถูกเติมในวีโวเซลบริเวนไกล์เดียง  $V_{\{i,j,k\}}$  ได้โดยง่าย สำหรับการได้มา ซึ่งการคำนวณของผลรวมเชิงเส้นเพื่อให้ได้ค่าเอกสาร์พุด  $a_{\{i,j,k\},\{0,0,0\}}$  นั้น เราจะเปลี่ยนรูปแบบของ ฟังก์ชันจุดประสงค์  $\varepsilon(\vec{a}_{\{i,j,k\}})$  ในสมการที่ (3.25) ให้อยู่ในรูปเมตริกซ์กำลังสอง (Quadratic matrix) ของตัวแปร  $a_{\{i,j,k\},\{p,q,r\}}$  จากนั้นจึงจะแก้สมการหาค่าสัมประสิทธิ์  $a_{\{i,j,k\},\{0,0,0\}}$  ต่อไป

เช่นเดียวกันกับการใช้ฟังก์ชันดัชนีในสมการที่ (3.14), (3.15) และ (3.16) เราจะกำหนดให้  $m$ ,  $n$ , และ  $o$  เป็นฟังก์ชันดัชนีเชิงนิยามโดย

$$m(t) = \lfloor (t-1)/((2N+1)(2O+1)) \rfloor - M, \quad (3.26)$$

$$n(t) = \lfloor (t-1)/(2O+1) \rfloor \bmod (2N+1) - N, \quad (3.27)$$

$$o(t) = (t-1) \bmod (2O+1) - O, \quad (3.28)$$

เมื่อ  $t = 1, \dots, (2M+1)(2N+1)(2O+1)$ , จากนั้นเราจะเขียนฟังก์ชันพหุนาม  $\vec{g}_{\{i,j,k\}}(m, n, o)$  ในสมการที่ (3.19) และข้อมูลภาพ  $f(i+m, j+n, k+o)$  ที่เกี่ยวข้องกับสมการที่ (3.25) ให้อยู่ในรูปแบบของเวกเตอร์ดังสมการ

$$\begin{aligned} \vec{g}_{\{i,j,k\}} = [ (\vec{b}_{\{i,j,k\}}(m(t), n(t), o(t)))^T \vec{a}_{\{i,j,k\}} ; \\ t = 1, \dots, (2M+1)(2N+1)(2O+1) ]^T, \end{aligned} \quad (3.29)$$

และ

$$\begin{aligned} \vec{f}_{\{i,j,k\}} = [ f(i+m(t), j+n(t), k+o(t)) ; \\ t = 1, \dots, (2M+1)(2N+1)(2O+1) ]^T. \end{aligned} \quad (3.30)$$

ให้  $\mathbf{A}$  เป็นเมตริกซ์จุดประสงค์ (Design matrix) ขนาด  $(2M+1)(2N+1)(2O+1) \times (P+1)(Q+1)(R+1)$  โดยมีค่าในแต่ละตำแหน่ง  $(ts)$  เท่ากับ

$$\mathbf{A}_{ts} = \{m(t)\}^{p(s)} \{n(t)\}^{q(s)} \{o(t)\}^{r(s)}. \quad (3.31)$$

โดยเมตริกซ์จุดประสงค์ในสมการที่ (3.31) ทำให้เราสามารถเขียนเวกเตอร์ของฟังก์ชันพหุนามในสมการที่ (3.29) ได้เป็น

$$\vec{g}_{\{i,j,k\}} = \mathbf{A} \vec{a}_{\{i,j,k\}}. \quad (3.32)$$

จากสมการที่ (3.29), (3.30) และ (3.32) เราสามารถเขียนฟังก์ชันจุดประสงค์  $\varepsilon(\vec{a}_{\{i,j,k\}})$  ในสมการที่ (3.25) ใหม่ได้ดังนี้

$$\varepsilon(\vec{a}_{\{i,j,k\}}) = \{\vec{e}_{\{i,j,k\}}\}^T \mathbf{W}_{\sigma(k)} \{\vec{e}_{\{i,j,k\}}\}. \quad (3.33)$$

โดยที่  $\vec{e}_{\{i,j,k\}}$  มีค่าเท่ากับ  $(\vec{f}_{\{i,j,k\}} - \mathbf{A} \vec{a}_{\{i,j,k\}})$  และ  $\mathbf{W}_{\sigma(k)}$  คือเมตริกซ์ทแยง (Diagonal matrix) ที่มีค่าดังสมการ

$$\mathbf{W}_{\sigma(k)} = \text{diag}\{ I_{\sigma(k)}(o(t)) ; t = 1, \dots, (2M+1)(2N+1)(2O+1) \}. \quad (3.34)$$

จะสังเกตเห็นได้ว่า ลำดับของ อาร์กิวเมนต์  $\sigma(t)$  ที่ใช้ใน เมตริกซ์ถ่วงน้ำหนัก  $\mathbf{W}_{\sigma(k)}$  ในสมการ ข้างต้นจะเป็นอิสระกับค่า อาร์กิวเมนต์  $k$  ในพังก์ชัน  $\sigma$ . โดย เวกเตอร์ผลเฉลย  $\vec{a}_{\{i,j,k\}}$  ที่ทำให้ พังก์ชันจุดประสงค์  $\varepsilon(\vec{a}_{\{i,j,k\}})$  ในสมการที่ (3.33) มีค่าน้อยที่สุด สามารถเขียนได้ดังสมการ

$$\vec{a}_{\{i,j,k\}} = (\mathbf{A}^T \mathbf{W}_{\sigma(k)} \mathbf{A})^{-1} (\mathbf{A}^T \mathbf{W}_{\sigma(k)} \vec{f}_{\{i,j,k\}}). \quad (3.35)$$

ดังที่ได้กล่าวมาแล้วในสมการที่ (3.20) เอกارتพุตของวงจรกรอง CSG จะมีค่าเท่ากับ  $g_{\{i,j,k\}}(0,0,0) = a_{\{i,j,k\},\{0,0,0\}}$  ดังนั้น เราสามารถเขียนแสดงค่า เอกارتพุต  $g_{\{i,j,k\}}(0,0,0)$  ได้จาก นิยามของ เวกเตอร์ผลเฉลย ในสมการที่ (3.35) ข้างต้นให้อยู่ในรูป

$$\begin{aligned} g_{\{i,j,k\}}(0,0,0) &= a_{\{i,j,k\},\{0,0,0\}} \\ &= \sum_{t=1}^{(2M+1)(2N+1)(2O+1)} \alpha_{\{i,j,k\},t} f(i+m(t), j+n(t), k+o(t)), \end{aligned} \quad (3.36)$$

โดย

$$\alpha_{\{i,j,k\},t} = \left\{ (\mathbf{A}^T \mathbf{W}_{\sigma(k)} \mathbf{A})^{-1} (\mathbf{A}^T \mathbf{W}_{\sigma(k)} \vec{u}_t) \right\}_1. \quad (3.37)$$

สัญลักษณ์  $\vec{u}_t$  คือ เวกเตอร์หนึ่งที่มีค่าเท่ากับหนึ่งที่ตำแหน่ง  $t$  th, ส่วน  $\{ \cdot \}_1$  คือ สัญลักษณ์ที่ระบุว่า เป็นการเลือกค่าตัวแรกของ เวกเตอร์ ในสมการที่ (3.37).

จากสมการที่ (3.36) จะสังเกตเห็นได้ว่า เอกارتพุตของวงจรกรอง CSG สามารถคำนวณได้ โดยง่ายด้วยวิธี ผลรวม เชิงเส้น ระหว่าง ค่าสัมประสิทธิ์  $\alpha_{\{i,j,k\},t}$  กับ ข้อมูล  $f(i+m, j+n, k+o)$  ใน วีกเซล บริเวณ ใกล้เคียง  $V_{\{i,j,k\}}$ . ยิ่งไปกว่านั้น ค่าสัมประสิทธิ์  $\alpha_{\{i,j,k\},t}$  ที่คำนวณได้ ยังขึ้นอยู่กับ เมตริกซ์จุดประสงค์  $\mathbf{A}$  และ เมตริกซ์ถ่วงน้ำหนัก  $\mathbf{W}_{\sigma(k)}$  โดย เมตริกซ์ทั้งสองนี้ สามารถสร้างขึ้นมา รอไว้ได้ใน กรรมวิธี ล่วงหน้า ทำให้เราสามารถคำนวณ ค่าสัมประสิทธิ์  $\alpha_{\{i,j,k\},t}$  ดังกล่าว ก่อน นำไปใช้ในการ สร้างกลับภาพ อัลตราซาวน์ สามมิติ

ยิ่งไปกว่านั้น จะเห็นได้ว่า เมตริกซ์จุดประสงค์  $\mathbf{A}$  จะ เป็น เมตริกซ์คงที่ สำหรับทุกๆ วีกเซล บริเวณ ใน ใกล้เคียง  $V_{\{i,j,k\}}$  ดังนั้น ค่าสัมประสิทธิ์  $\alpha_{\{i,j,k\},t}$  จึงขึ้นอยู่ กับ เมตริกซ์ถ่วงน้ำหนัก  $\mathbf{W}_{\sigma(k)}$  ซึ่ง เป็น เมตริกซ์ที่ เกี่ยวข้อง กับ ตำแหน่ง ของ วีกเซล ที่ถูก เติม ใน เต็ล วีกเซล บริเวณ ใกล้เคียง  $V_{\{i,j,k\}}$  ที่แตกต่าง กัน, ส่งผล ทำให้ เรา สามารถ แบ่ง กลุ่ม ค่าสัมประสิทธิ์  $\alpha_{\{i,j,k\},t}$  ตาม จำนวน กลุ่ม ของ เมตริกซ์ถ่วงน้ำหนัก  $\mathbf{W}_{\sigma(k)}$  ออก ไปได้  $N_{SCAN}$  กลุ่ม ด้วย คุณสมบัติ แบบ วน ของ พังก์ชัน modulo ดังที่ได้ พิสูจน์ไว้ ใน ภาค ผนวก C, คุณสมบัติ ต่างๆ เหล่านี้ ให้เรา เห็น ว่า เรา ต้อง การ เพียง คำนวณ เซ็ต ของ ค่าสัมประสิทธิ์  $\alpha_{\{i,j,k\},t}$  จำนวน  $N_{SCAN}$  ครั้ง ให้ ล่วงหน้า สำหรับ นำไปใช้ ในการ ดำเนิน การ สร้าง กลับภาพ อัลตราซาวน์ สามมิติ ทั้งรูปภาพ ส่งผล ให้ กระบวนการ ตั้งกล่าว มี ความ รวดเร็ว และ มี ความ ซับซ้อน ใน การ คำนวณ ที่น้อยลง โดย ใน หัวข้อ ถัดไป จะได้ กล่าวถึง การ นำ ร่อง กฎ-

ลาร์ไวเซ็นเทคโนโลยีมาสหสมพานกับวงจรกรอง CSG เพื่อให้วงจรกรองดังกล่าวมีประสิทธิภาพในการสร้างกลับภาพอัลตราซาวน์สามมิติให้มีประสิทธิภาพมากยิ่งขึ้น



### 3.3 การกำหนดแนวทางของวงจรกรองเริกกูลาร์ไวซ์ชาร์สกี-โกลเด้นแบบ

ในหัวข้อที่ผ่านมาได้นำเสนอของวงจรกรอง CSG ซึ่งเป็นการพัฒนาระเบียบวิธีของวงจรกรอง SG ต้นแบบในการสร้างกลับภาพอัลตราซาวน์สามมิติในขอบข่ายงานของการสแกนแบบเชิงเส้น ทางกล โดยให้วงจรกรอง CSG ดังกล่าวสามารถประมาณค่าในช่วง (Interpolate) ในวอคเซลที่ไม่ถูกเติม (Unfilled voxel) และลดthonสัญญาณรบกวนแบบจุดในวอคเซลที่ถูกเติม (Filled voxel) ในหัวข้อนี้จะได้พัฒนาของวงจรกรอง CRSG ด้วยการนำระเบียบวิธีของวงจรกรอง CSG มาขยายผลโดยการเพิ่มฟังก์ชันในการเริกกูลาร์ไวซ์เข้าไปในฟังก์ชันจุดประสงค์แบบกำลังสองน้อยสุด เพื่อถ่วงดุลกันระหว่างระดับความรวมเรียบในการลดthonสัญญาณรบกวนและระดับความสามรถในการรักษาขอบภาพให้ใกล้เคียงกับข้อมูลที่บันทึกได้

โดยเริ่มแรกเราจะทำการปรับปูจุฟังก์ชันจุดประสงค์ของวงจรกรอง CSG ในสมการที่ (3.25) ขึ้นใหม่ โดยในระเบียบวิธีการสร้างกลับของวงจรกรอง CRSG นี้ เราจะกำหนดให้ฟังก์ชันจุดประสงค์  $\xi_{\{i,j,k\}}(\vec{a})$  สำหรับการคำนวณค่าที่น้อยที่สุดได้ดังสมการ

$$\xi_{\{i,j,k\}}(\vec{a}) = \varepsilon_{\{i,j,k\}}(\vec{a}) + \lambda \zeta_{\{i,j,k\}}(\vec{a}), \quad (3.38)$$

โดย  $\lambda$  คือพารามิเตอร์ในการเริกกูลาร์ไวซ์โดยความมากน้อยของค่าดังกล่าวจะขึ้นอยู่กับระดับของสัญญาณรบกวนภายในภาพ ฟังก์ชันในพจน์แรกของสมการที่ (3.38) ด้านขวาเมื่อคือฟังก์ชันจุดประสงค์ของวงจรกรอง CSG ในหัวข้อก่อนหน้านี้ ในขณะที่ฟังก์ชันในพจน์ที่สองคือฟังก์ชันในการเริกกูลาร์ไวซ์ซึ่งจะถูกออกแบบตามองค์ความรู้ล่วงหน้า (A priori knowledge) ของผลเฉลย  $\vec{a}_{\{i,j,k\}}$  ว่าเราต้องการให้ผลเฉลยที่เราต้องการมีแนวโน้มออกมายังลักษณะใด [28, 29] โดยใน การพัฒนาของวงจรกรอง CRSG นี้ เราจะกำหนดให้ฟังก์ชันในการเริกกูลาร์ไวซ์มีค่าเท่ากับ

$$\begin{aligned} \zeta_{\{i,j,k\}}(\vec{a}) = I_{\{i,j,k\}}(m, n, o) & \left\{ (D_1 g_{\{i,j,k\}}(m, n, o))^2 + (D_2 g_{\{i,j,k\}}(m, n, o))^2 \right. \\ & \left. + (D_3 g_{\{i,j,k\}}(m, n, o))^2 \right\}. \end{aligned} \quad (3.39)$$

เมื่อ  $D_1$ ,  $D_2$ , และ  $D_3$  คือตัวดำเนินการเชิงอนุพันธ์อันดับที่หนึ่งของฟังก์ชันพุ่น  $g_{\{i,j,k\}}$  เทียบกับ  $m$ ,  $n$ , และ  $o$  ตามลำดับ โดยฟังก์ชันในการเริกกูลาร์ไวซ์ในสมการข้างต้นนี้ได้ถูก

ออกแบบไนเพื่อลดทอนแรงกระเพื่อม (Ripple) ของอนุพันธ์อันดับที่หนึ่งในฟังก์ชันพหุนาม  $g_{\{i,j,k\}}$  ที่จะไปติดตามความแรงของสัญญาณรบกวนแบบจุดภายในภาพ [30]

จากการใช้ฟังก์ชันดัชนีของตัวแปรตำแหน่งข้อมูล  $m, n$ , และ  $o$  ตามที่ได้นิยามไว้ในสมการที่ (3.26), (3.27), และ (3.28) ตามลำดับ เราสามารถจัดเรียง  $D_1 g_{\{i,j,k\}}, D_2 g_{\{i,j,k\}}$ , และ  $D_3 g_{\{i,j,k\}}$  ให้มีให้อยู่ในรูปแบบของเวกเตอร์ได้ดังสมการ

$$\vec{\delta}_{\{i,j,k\}}^1 = [ D_1 g_{\{i,j,k\}}(m(t), n(t), o(t)) ; t = 1, \dots, (2M+1)(2N+1)(2O+1) ]^T, \quad (3.40)$$

$$\vec{\delta}_{\{i,j,k\}}^2 = [ D_2 g_{\{i,j,k\}}(m(t), n(t), o(t)) ; t = 1, \dots, (2M+1)(2N+1)(2O+1) ]^T, \quad (3.41)$$

$$\vec{\delta}_{\{i,j,k\}}^3 = [ D_3 g_{\{i,j,k\}}(m(t), n(t), o(t)) ; t = 1, \dots, (2M+1)(2N+1)(2O+1) ]^T. \quad (3.42)$$

จากการนิยามเวกเตอร์  $\vec{\delta}_{\{i,j,k\}}^1, \vec{\delta}_{\{i,j,k\}}^2$ , และ  $\vec{\delta}_{\{i,j,k\}}^3$  ในสมการที่ (3.40), (3.41), และ (3.42) เราสามารถเขียนแสดงฟังก์ชันในการเริกฤกุลาร์ไฮร์ซี  $\zeta_{\{i,j,k\}}(\vec{a})$  ในสมการที่ (3.38) ได้ดังสมการ

$$\zeta_{\{i,j,k\}}(\vec{a}) = \mathbf{W}_{\sigma(k)} \{ (\vec{\delta}_{\{i,j,k\}}^1)^T \vec{\delta}_{\{i,j,k\}}^1 + (\vec{\delta}_{\{i,j,k\}}^2)^T \vec{\delta}_{\{i,j,k\}}^2 + (\vec{\delta}_{\{i,j,k\}}^3)^T \vec{\delta}_{\{i,j,k\}}^3 \}. \quad (3.43)$$

และเช่นเดียวกันกับการจัดรูปแบบของเวกเตอร์ฟังก์ชันพหุนาม  $\bar{g}_{\{i,j,k\}}$  ให้อยู่ในรูปของเมตริกซ์จุดประสงค์  $\mathbf{A}$  และเวกเตอร์ผลเฉลย  $\vec{a}_{\{i,j,k\}}$  ในสมการที่ (3.32) ดังนั้นเราสามารถเขียนเวกเตอร์  $\vec{\delta}_{\{i,j,k\}}^1, \vec{\delta}_{\{i,j,k\}}^2$ , และ  $\vec{\delta}_{\{i,j,k\}}^3$  ให้อยู่ในรูปแบบดังกล่าวได้ดังสมการ

$$\vec{\delta}_{\{i,j,k\}}^1 = \mathbf{B} \vec{a}_{\{i,j,k\}}, \quad \vec{\delta}_{\{i,j,k\}}^2 = \mathbf{C} \vec{a}_{\{i,j,k\}}, \quad \text{and} \quad \vec{\delta}_{\{i,j,k\}}^3 = \mathbf{D} \vec{a}_{\{i,j,k\}}, \quad (3.44)$$

เมื่อ  $\mathbf{B}$  คือเมตริกซ์จุดประสงค์ขนาด  $(2M+1)(2N+1)(2O+1) \times (P+1)(Q+1)(R+1)$  และมีค่าในแต่ละตำแหน่ง ( $ts$ ) เท่ากับ

$$\mathbf{B}_{ts} = p(s) m(t)^{|p(s)-1|} n(t)^{q(s)} o(t)^{r(s)}, \quad (3.45)$$

เมื่อ  $\mathbf{C}$  คือเมตริกซ์จุดประสงค์ขนาด  $(2M+1)(2N+1)(2O+1) \times (P+1)(Q+1)(R+1)$  และมีค่าในแต่ละตำแหน่ง ( $ts$ ) เท่ากับ

$$\mathbf{C}_{ts} = q(s) m(t)^{|q(s)-1|} n(t)^{p(s)} o(t)^{r(s)}, \quad (3.46)$$

และ  $\mathbf{D}$  คือเมตริกซ์จุดประสงค์ขนาด  $(2M+1)(2N+1)(2O+1) \times (P+1)(Q+1)(R+1)$  โดยมีค่าในแต่ละตำแหน่ง  $(ts)$  เท่ากับ

$$\mathbf{D}_{ts} = r(s) m(t)^{p(s)} n(t)^{q(s)} o(t)^{|r(s)-t|}. \quad (3.47)$$

จากนิยามของเวกเตอร์  $\vec{\delta}_{\{i,j,k\}}^1$ ,  $\vec{\delta}_{\{i,j,k\}}^2$ , และ  $\vec{\delta}_{\{i,j,k\}}^3$  ในสมการที่ (3.44) เราสามารถเขียนฟังก์ชันจุดประสงค์ในสมการที่ (3.38) ได้ใหม่ดังสมการ

$$\xi_{\{i,j,k\}}(\vec{a}) = \varepsilon_{\{i,j,k\}}(\vec{a}) + \lambda \mathbf{W}_{\sigma(k)} \left( \vec{a}_{\{i,j,k\}}^T \mathbf{B}^T \mathbf{B} \vec{a}_{\{i,j,k\}} + \vec{a}_{\{i,j,k\}}^T \mathbf{C}^T \mathbf{C} \vec{a}_{\{i,j,k\}} + \vec{a}_{\{i,j,k\}}^T \mathbf{D}^T \mathbf{D} \vec{a}_{\{i,j,k\}} \right). \quad (3.48)$$

ดังนั้นเวกเตอร์ผลเฉลย  $\vec{a}_{\{i,j,k\}}$  ของวงจรกรอง CRSG ที่ทำให้สมการที่ (3.48) มีค่าน้อยที่สุดจะมีค่าเท่ากับ

$$\vec{a}_{\{i,j,k\}} = \left( \mathbf{A}^T \mathbf{W}_{\sigma(k)} \mathbf{A} + \lambda (\mathbf{B}^T \mathbf{W}_{\sigma(k)} \mathbf{B} + \mathbf{C}^T \mathbf{W}_{\sigma(k)} \mathbf{C} + \mathbf{D}^T \mathbf{W}_{\sigma(k)} \mathbf{D}) \right)^{-1} \mathbf{A}^T \mathbf{W}_{\sigma(k)} \vec{f}_{\{i,j,k\}}. \quad (3.49)$$

และเช่นเดียวกับการหาค่าเอกสาร์พุตของวงจรกรอง CSG ในหัวข้อก่อนหน้า เอกสาร์พุตของวงจรกรอง CRSG,  $g_{\{i,j,k\}}(0,0,0)$  จะมีค่าเท่ากับ

$$g_{\{i,j,k\}}(0,0,0) = \sum_{t=1}^{(2M+1)(2N+1)(2O+1)} \beta_{\{i,j,k\},t} f(i+m(t), j+n(t), k+o(t)), \quad (3.50)$$

โดย

$$\beta_{\{i,j,k\},t} = \left\{ \left( \mathbf{A}^T \mathbf{W}_{\sigma(k)} \mathbf{A} + \lambda (\mathbf{B}^T \mathbf{W}_{\sigma(k)} \mathbf{B} + \mathbf{C}^T \mathbf{W}_{\sigma(k)} \mathbf{C} + \mathbf{D}^T \mathbf{W}_{\sigma(k)} \mathbf{D}) \right)^{-1} \mathbf{A}^T \mathbf{W}_{\sigma(k)} \vec{u}_t \right\}_1. \quad (3.51)$$

เมื่อ  $\vec{u}_t$  คือเวกเตอร์หนึ่งหน่วยซึ่งมีค่าเท่ากับหนึ่งที่ตำแหน่ง  $t$  th, ส่วน  $\{\cdot\}_1$  คือสัญลักษณ์ที่ระบุว่าเป็นการเลือกค่าตัวแรกของเวกเตอร์ในสมการที่ (3.51)

ค่าสัมประสิทธิ์  $\beta_{\{i,j,k\}}$  ของวงจรกรอง CRSG สามารถคำนวณได้ในกระบวนการ Pre-processing เช่นเดียวกับค่า  $\alpha_{\{i,j,k\}}$  ของวงจรกรอง CSG ก่อนการดำเนินการสร้างกลับภาพขั้ลตราฐานสามมิติ และค่าเอกสาร์พุตของวงจรกรองสามารถคำนวณได้ในรูปของการสั่งวัด-นาการหรือผลการประสาณ (Convolution) ระหว่างค่าสัมประสิทธิ์ของวงจรกรอง  $\beta_{\{i,j,k\}}$  กับข้อมูลภาพ  $f_{\{i,j,k\}}$  ในรูปเซลบริเวณใกล้เคียง  $V_{\{i,j,k\}}$ , ทำให้วงจรกรอง CRSG มีความซับซ้อนในการคำนวณค่าเอกสาร์พุตเช่นเดียวกับวงจรกรอง CSG